

長岡技術科学大学大学院
長岡技术科学大学建設系
長岡技术科学大学建設系

学生員 ○福永 和久
正員 福嶋 裕介
正員 早川 典生

- はじめに； 壁面密度噴流（傾斜プリューム）については、多くの研究が行われているが、界面の混合と固定境界の両方の影響を受けるため、流速分布、密度分布等は十分に明らかにされてはいない。層流における分布特性については、既に著者らの一人によって⁽¹⁾報告されている。ここでは、実際的問題として乱流解を理論的に導き、吉田の実験値より⁽²⁾その妥当性について検討を加える。
- 鉛直壁面密度噴流乱流解； 固定境界をもつ半無限領域に密度 ρ_1 の流体が静止しており、この周囲流体より大きな密度をもつ流体が、固定境界に沿って重力方向に流下する場合を考える。この時、 x 方向の Navier-Stokes の式は、境界層近似、Boussinesq 近似のもとで、次のようになる。

$$\frac{\partial u}{\partial x} + \frac{\partial v}{\partial y} = Eg + \frac{2}{\rho g k_m} \frac{\partial \psi}{\partial y} \quad (1)$$

質量保存式は

$$\frac{\partial \epsilon}{\partial x} + \frac{\partial \epsilon}{\partial y} = \frac{2}{\rho g k_d} \frac{\partial \psi}{\partial y} \quad (2)$$

ここで、 u, v ； x, y 方向の平均流速成分、 g ；重力加速度、 ϵ ；相対密度差 ($= (\rho - \rho_1) / \rho_1$)、 k_m ；渦動粘性係数、 k_d ；渦動拡散係数である。

まず、層流解と同様、連続式(3)を満たす流函数 ψ を導入する。

$$\frac{\partial u}{\partial x} + \frac{\partial v}{\partial y} = 0 \quad (3) \quad u = \frac{\partial \psi}{\partial y} \quad v = -\frac{\partial \psi}{\partial x} \quad (4)$$

流下距離が十分大きく、流入した流体と周囲流体の混合が十分に発達した領域を考える。

この領域では、流速分布、密度分布が相似形になると仮定すると。

$$\eta = \alpha y x^{-m}, \quad \psi = b x^n F(\eta), \quad \epsilon = c x^k H(\eta) \quad (5)$$

渦動粘性係数を 次のように仮定する。

$$k_m = x_1 B u_m \tanh(x_2 y/B) \quad (6)$$

ここに、 x_1, x_2 ； 実験定数、 B ； 任意の噴流幅

u_m ； 断面内最大流速

吉田の測定した平均流速分布と L T ひずみ応力の分布をもとに渦動粘性係数を計算し、式(6)と比較したのが、図2である。

壁面に近い範囲では、 $1 \leq x_2 \leq 2$ 、 $x_1 = 0.03$ とすれば、実測値と式(6)はよく一致する。

渦動拡散係数は、Reynolds analogy を用いて

$$k_d = k_m \quad (7)$$

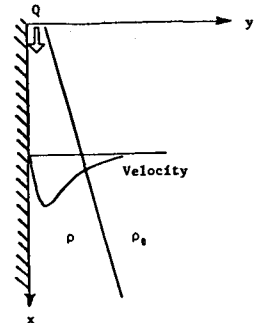


図1. 鉛直壁面密度噴流
と座標系

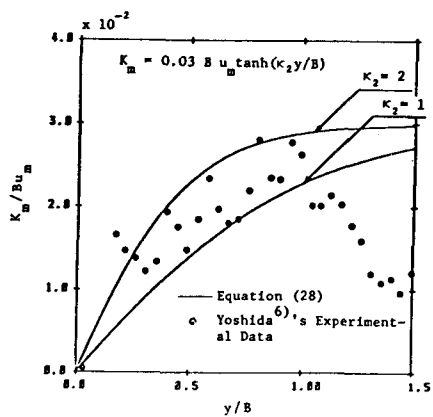


図2. 渦動粘性係数の実験値と(6)式
の比較

最大流速を生ずる点の η を η_0 、流速が最大流速の $1/2$ になる η を η_1 とし、特性長 B を

$$B = \frac{1}{\alpha} \eta_0^{\alpha} \quad (8)$$

と定義すれば渦動粘性係数は

$$K_0 = K_1 B^{\alpha} \cdot \tanh(\eta_0/\eta_1) \quad (9)$$

$$K_1 = \eta_0^{-1} F'(\eta_0) \quad (10)$$

相対密度差の流入フラックス一定の条件を用いて、(5), (7), (9)を(1), (2)に代入すれば、相似指数は

$m = 1$, $\kappa = 1$, $\beta = -1$ と決定される。ここで

$aB = u_m$, $C = \varepsilon g S$, $\eta_0/a = 0$ とすれば(1), (2)は

$$FF'' + \frac{1}{\alpha} R_{ls} H + K_0 \left\{ \eta_0 / \eta_1 \cdot \operatorname{sech}^2(\eta_0/\eta_1) F'' + \tanh(\eta_0/\eta_1) F''' \right\} = 0 \quad (11)$$

$$FH + K_0 \cdot \tanh(\eta_0/\eta_1) H' = 0 \quad (12)$$

$$\text{ここで } K_0 = \eta_0 \frac{R_s^2}{\alpha} F'(\eta_0), \quad R_{ls} = \frac{\varepsilon g B_S}{2 \eta_0^2} \quad (13)$$

で、 R_{ls} は $X = S$ での層平均リチャードソン数である。

3. 計算結果； 計算は、粘性層の厚さを十分小さいと考え

第1ステップで $F''' = 0$ とした。又、計算に用いたパラメータは、吉田⁽²⁾、小松⁽³⁾の実験結果を参考にして、

$$\alpha = \frac{1}{26.3} \quad R_{ls} = 0.0432 \quad \text{とした。}$$

図3は、 K_0 を変化させた時の流速分布である。又、図4は、吉田の測定した平均流速分布と比較したもので、理論値とよく一致している。この時、 η_1 , η_0 は 0.0242, 1.25となり、渦動粘性係数の仮定(6)が妥当であることが言えた。図5は、レインルズ応力の分布図で、吉田の実測値と比較すると、 y/B が大きくなると、実測値は計算値に比べ小さくなるが、壁面に近い範囲では、両者は良く一致する。今後の研究としては、流速分布と密度分布を同時に測定し、理論の妥当性をさらに検討することである。

(1) 福嶋祐介；鉛直壁面密度噴流の流速分布と密度分布の層流解、第37回年次学術講演会概要集、1982年

(2) Yoshida, J.; On the velocity fields and their variations in the two-dimensional forced plumes, and the behavior of the two-dimensional dual plumes, Doctoral Thesis, University of Tokyo, 1982.

(3) 小松利光、橋東一郎；傾斜Plumeの流れと連行現象、第23回水理講演会論文集、1979年 pp 415~422

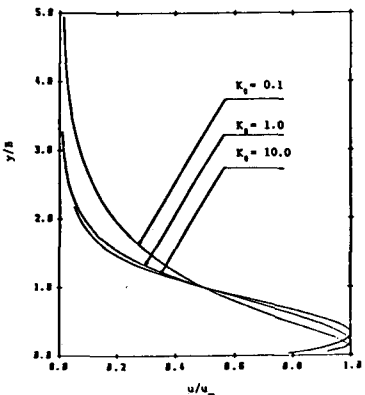


図3. K_0 による流速分布の変化

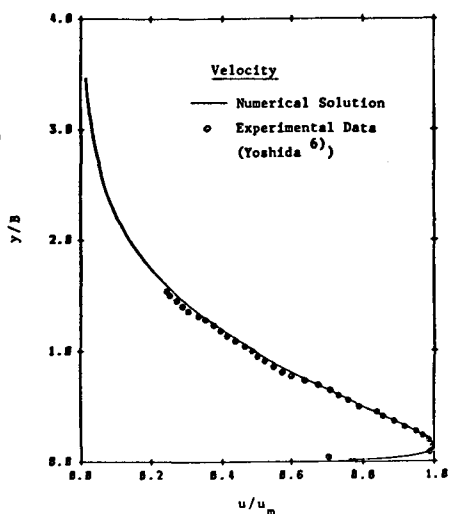


図4. 流速分布の理論値と実験値の比較

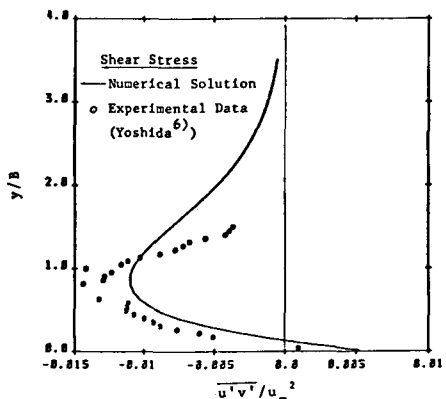


図5. レインルズ応力の理論値と実験値の比較